

II-174 河川における浮流砂量の算定について

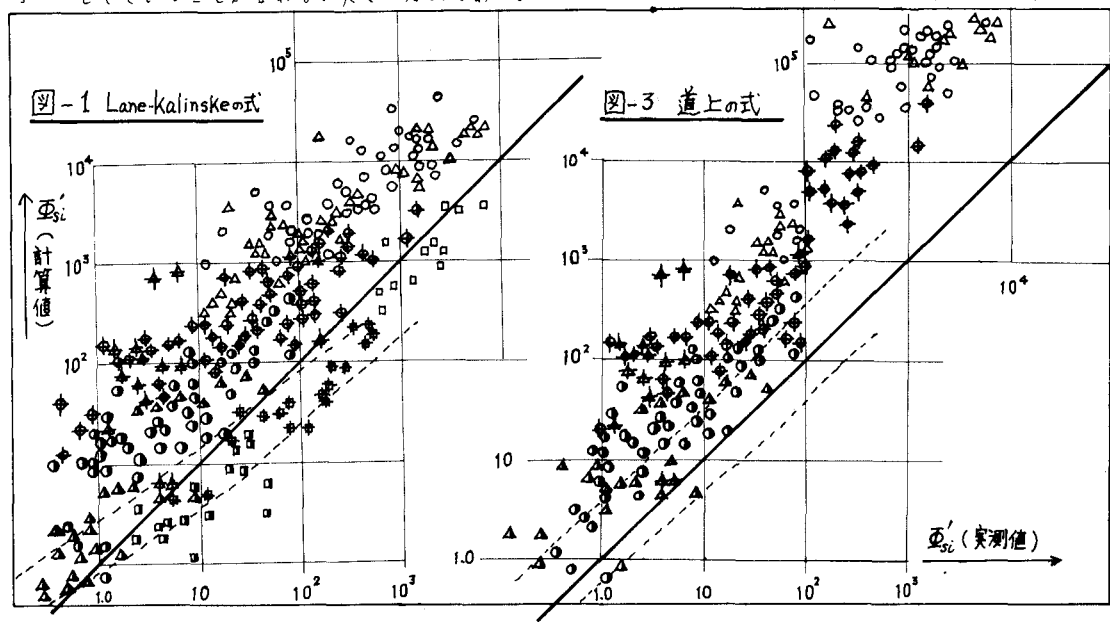
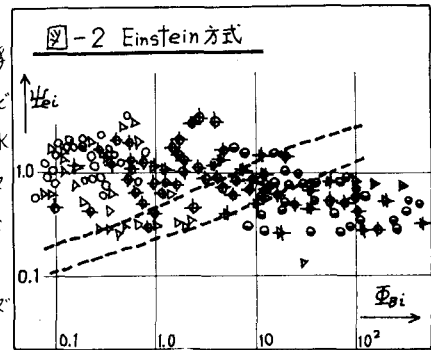
佐賀大学理工学部 正員 ○渡辺 訓甫
九州大学工学部 正員 植 東一郎

1. 予えがき 先年、我々は主に河床波による乱れ作用を考慮し、掃流層の上に拡散係数一定の粗度層(厚さ $1.5R_s$)を導入して浮流砂量式を導いた。それによって従来の水路資料とTaffaletiによる米国河川資料とをかなり統一的に説明することができたが、粒度が粗く、河床波が崩壊過程にあってflat bedに近づいた場合の適合性にはなお問題が残されていた。これは相当粗度が小さいと拡散係数 k_s が河床付近で小さくなってしまうということに起因している。一般に、河床には河床波とhorseshoe vortexによる乱れが存在するところを考慮すれば、浮流砂に対しては全領域に渡って拡散係数を一定とした方が簡単でもあり、実質に近いと考えて良いであろう。本文は、以上の考察に基いて浮流砂量式を提案し、従来の浮流砂量式とともに検討を加えたものである。

2. 浮流砂量式の検討 前述の水路・河川資料を用いてLane-Kalinske式、Einstein式及び最近の道上の式についてその適合性を検討したものが図-1、2、3で、図中点線は水路資料のちらばりの範囲を示してある。

(1) Lane-Kalinske式：この式は米国河川に適合するように修正された半經驗式であり、浮流限界を河床にとった場合には必ずしも一致しないことが芦田らや土屋によって指摘されている。また河川の場合も図-1に示すように、粒径毎に分かれ、河川によるとても異なる。

(2) Einstein式：Einsteinの濃度にRouse分布($E_s = k u_* y (1 - e^{-y})$)を用い、浮流限界を $y_s = 2d_s$ 、その点の濃度 C_s を掃流層濃度 C_0 に接続せらるなどによって式を導いた。この計算方式による結果が図-2であつて、水路の混合砂の資料が粒度毎に別れて均一砂と一致せず、河川については $y_s = 10^2 \sim 10^3$ の範囲にあり、水路資料との一致は全くみられない。これは浮流限界 y_s に問題があり、河床附近には河床波やhorseshoe vortexなどによる規模の大きい乱れの層が存在することを無視して、底面での $E_s \rightarrow 0$ としていることが合わない大きな原因である。



(3)道上の式：最近、道上はLane-Kalinkeのモデルに準じて底面付近の濃度の表示式を求め、 $C_0 = 0.05h$ として Rouse の濃度分布式から済流砂量式を導いた。それによる計算値と実測値とを比較したのが図-3である。資料は粒度毎に別れており、実測より 1~2 オーダー過大である。

3. 済流砂量の算定式と考察 前述の考察に基づいて、濃度分布は基礎式 $w_0 C + \varepsilon_s \frac{dC}{dy} = 0$ において $\varepsilon_s = \beta \varepsilon_m$ $= \beta \frac{K}{\rho} u_* h$ ($\beta=1.2$) として、流速分布に 2 次式を仮定すると、各マ次のようである。

$$C/C_* = e^{-z(5-S_*)}, \quad z = \frac{\delta}{\beta K} \frac{w_0}{u_*} \quad \dots \dots \quad (1) \quad U/U_* = (\varphi - \frac{z}{K}) + \frac{6}{K}(S - \frac{S_*^2}{2}) \quad \dots \dots \quad (2)$$

ここで、 U_* ：摩擦速度、 $\varphi = \eta/U_*$ 、 $S = \eta/h$ 、 $S_* = \eta_0/h = 0.5 \text{ ft}/h$ (済流限界点)、 C_* ： $S = S_*$ の濃度 (済流限界点濃度)、 w_0 ：沈降速度、 K ：Kármán 定数 (Einstein の実験曲線を使用) である。また、済流限界点濃度 C_* と掃流層濃度 C_0 とは不連続であるとして $C_* = C_0 f(\frac{w_0}{u_*})$ 、 $C_0 = g_B / \varphi' u_*^2 \alpha_*$ 、 g_B ：掃流砂、 $\varphi' u'_*$ ：掃流砂の移動速度で $\varphi' = 8.5$ 、 $u'_* = U_* \sqrt{\frac{\varphi'}{g_B}}$ (有効摩擦速度) を導入すると、各粒径についての済流砂量 $i_s g_s$ は次式

$$i_s g_s = \int_{\eta_0}^h U \cdot C \, dy = i_s g_B \cdot f(\frac{w_0}{u_*}) \frac{U_*}{u'_*} \frac{1}{\varphi' S_*} e^{25*} \int_{S_*}^1 \{ (\varphi - \frac{z}{K}) + \frac{6}{K}(S - \frac{S_*^2}{2}) \} e^{-25*} dz \quad \dots \dots \quad (3)$$

で表示でき、全流砂量 $i_t g_t = i_s g_s + i_b g_b$ は無次元表示 $\bar{i}_t = i_t g_t / i_b \sqrt{sgd_*^3}$ 、 $\bar{i}_s = i_s g_s / i_b \sqrt{sgd_*^3}$ を用いて

$$\bar{i}_t = \bar{i}_s \cdot [1 + f(\frac{w_0}{u_*}) \frac{U_*}{u'_*} \frac{1}{\varphi' S_*} e^{25*} \int_{S_*}^1 \{ (\varphi - \frac{z}{K}) + \frac{6}{K}(S - \frac{S_*^2}{2}) \} e^{-25*} dz] \quad \dots \dots \quad (4)$$

となる。なお河川の場合はある深さ $\eta = Y_1$ 以上の済流砂量 $i_s g_s'$ が測定されていゝので、 $\bar{i}_s' = i_s g_s' / i_b \sqrt{sgd_*^3}$ は

$$\bar{i}_s' = \bar{i}_s \cdot [f(\frac{w_0}{u_*}) \frac{U_*}{u'_*} \frac{1}{\varphi' S_*} e^{25*} \int_{S_*}^1 \{ (\varphi - \frac{z}{K}) + \frac{6}{K}(S - \frac{S_*^2}{2}) \} e^{-25*} dz], \quad S_1 = Y_1/h \quad \dots \dots \quad (5)$$

と表示される。式(4)、(5)を用いて、実測の流砂量 (\bar{i}_t , \bar{i}_s') から掃流砂量 $i_s g_s$ を逆算して得られた結果が図-4, 5 である。図-5 の点線は水路資料の散らばりの範囲であって、前述の方式に比べ精度的にかなり改善されており、水路と河川の済流砂量が同一方式によつて算定できることを示している。また、掃流砂量式として信頼性のある芦田・道上の式とも平均的にはよく一致している。

